

Ferromagnetismus

Kollektive Wechselwirkungen im Heisenberg-Modell

Bijan Chokoufe Nejad

Vortrag zur Vielteilchen-Physik

13. Januar 2012

Wie entsteht Ferromagnetismus?



Wechselwirkungen

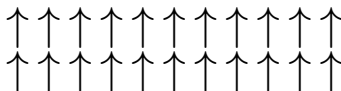
- Magnetische Strukturen
- Dipol-Dipol-WW
- Elektronische Austausch-WW
- Indirekte Austausch-WW

Heisenberg-Modell

- Goldstone-Moden
- Umformulierung des \mathcal{H} im \mathbf{k} -Raum
- Ein-Magnonen-Zustand
- Spontane Magnetisierung
- Andere Modelle

- ▶ Ferromagnetismus
- ▶ Ferrimagnetismus
- ▶ Antiferromagnetismus

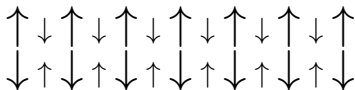
Verhalten unterhalb der
kritischen Temperatur
spontane Symmetriebrechung



Kritische Temperatur $T^* = T_C$
Curie Temperatur

- ▶ Ferromagnetismus
- ▶ Ferrimagnetismus
- ▶ Antiferromagnetismus

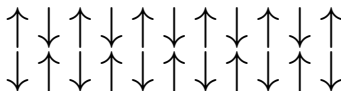
Verhalten unterhalb der
kritischen Temperatur
spontane Symmetriebrechung



Kritische Temperatur $T^* = T_C$
Curie Temperatur

- ▶ Ferromagnetismus
- ▶ Ferrimagnetismus
- ▶ Antiferromagnetismus

Verhalten unterhalb der
kritischen Temperatur
spontane Symmetriebrechung



Kritische Temperatur $T^* = T_N$
Néel Temperatur

Abschätzung der Dipol-Dipol-WW

Aus der Elektrodynamik kennen wir

$$\mathbf{B}_D = \frac{\mu_0}{4\pi} \frac{3(\mathbf{m}_j \cdot \mathbf{r}_{ij})\mathbf{r}_{ij} - \mathbf{m}_j r_{ij}^2}{r_{ij}^5},$$

mit $\mathbf{r}_{ij} = \mathbf{R}_i - \mathbf{R}_j$

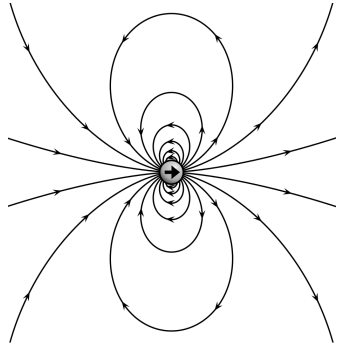
und somit folgt die WW-Energie

$$\begin{aligned} E_D^i &= -\mathbf{m}_i \mathbf{B}_D(\mathbf{R}_i) \\ &= \frac{\mu_0}{4\pi} \sum_j \frac{-3(\mathbf{m}_j \cdot \mathbf{r}_{ij})(\mathbf{m}_i \cdot \mathbf{r}_{ij}) + (\mathbf{m}_j \cdot \mathbf{m}_i) r_{ij}^2}{r_{ij}^5} \end{aligned}$$

Dies lässt sich abschätzen

$$E_D^i \approx \frac{\mu_0}{4\pi} \frac{(p_{\text{eff}} \mu_B)^2}{r^3} z = 0.5371 \cdot 10^{-4} \frac{z p_{\text{eff}}^2}{r^3} \text{ eV } \text{\AA}^3 \approx 10^{-4} \text{ eV},$$

wobei $r \approx 2 \text{ \AA}$, p_{eff} die effektive Anzahl an Magnetonen und z die Zahl nächster Nachbarn ist.



Abschätzung der Dipol-Dipol-WW

Aus der Elektrodynamik kennen wir

$$\mathbf{B}_D = \frac{\mu_0}{4\pi} \frac{3(\mathbf{m}_j \cdot \mathbf{r}_{ij})\mathbf{r}_{ij} - \mathbf{m}_j r_{ij}^2}{r_{ij}^5},$$

mit $\mathbf{r}_{ij} = \mathbf{R}_i - \mathbf{R}_j$

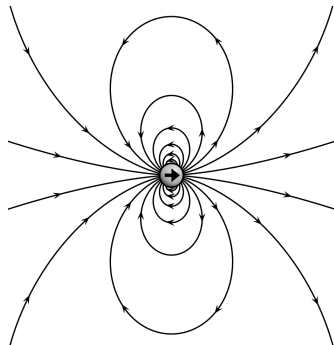
und somit folgt die WW-Energie

$$\begin{aligned} E_D^i &= -\mathbf{m}_i \mathbf{B}_D(\mathbf{R}_i) \\ &= \frac{\mu_0}{4\pi} \sum_j \frac{-3(\mathbf{m}_j \cdot \mathbf{r}_{ij})(\mathbf{m}_i \cdot \mathbf{r}_{ij}) + (\mathbf{m}_j \cdot \mathbf{m}_i) r_{ij}^2}{r_{ij}^5} \end{aligned}$$

Dies lässt sich abschätzen

$$E_D^i \approx \frac{\mu_0}{4\pi} \frac{(p_{\text{eff}} \mu_B)^2}{r^3} z = 0.5371 \cdot 10^{-4} \frac{z p_{\text{eff}}^2}{r^3} \text{ eV } \text{\AA}^3 \approx 10^{-4} \text{ eV},$$

wobei $r \approx 2 \text{ \AA}$, p_{eff} die effektive Anzahl an Magnetonen und z die Zahl nächster Nachbarn ist.



- ▶ Magnetische Dipol-Dipol-WW: $E_D^i = 10^{-4} \text{ eV} \hat{=} 1.16 \text{ K}$
- ▶ Vergleiche mit $T_C = 1043 \text{ K}$ von Fe.
- ▶ Kann nicht der Ursprung der ferromagnetischen Ordnung sein. Nur Korrekturterm.
- ▶ Ferromagnetismus ist klassisch nicht erklärbar.
- ▶ Elektrostatische WW aufgrund des Pauli-Prinzips bzw. der antisymmetrischen Wellenfunktion.

- ▶ Magnetische Dipol-Dipol-WW: $E_D^i = 10^{-4} \text{ eV} \hat{=} 1.16 \text{ K}$
- ▶ Vergleiche mit $T_C = 1043 \text{ K}$ von Fe.
- ▶ Kann nicht der Ursprung der ferromagnetischen Ordnung sein. Nur Korrekturterm.
- ▶ Ferromagnetismus ist klassisch nicht erklärbar.
- ▶ Elektrostatische WW aufgrund des Pauli-Prinzips bzw. der antisymmetrischen Wellenfunktion.

- ▶ Magnetische Dipol-Dipol-WW: $E_D^i = 10^{-4} \text{ eV} \hat{=} 1.16 \text{ K}$
- ▶ Vergleiche mit $T_C = 1043 \text{ K}$ von Fe.
- ▶ Kann nicht der Ursprung der ferromagnetischen Ordnung sein. Nur Korrekturterm.
- ▶ Ferromagnetismus ist klassisch nicht erklärbar.
- ▶ Elektrostatische WW aufgrund des Pauli-Prinzips bzw. der antisymmetrischen Wellenfunktion.

- ▶ Magnetische Dipol-Dipol-WW: $E_D^i = 10^{-4} \text{ eV} \hat{=} 1.16 \text{ K}$
- ▶ Vergleiche mit $T_C = 1043 \text{ K}$ von Fe.
- ▶ Kann nicht der Ursprung der ferromagnetischen Ordnung sein. Nur Korrekturterm.
- ▶ Ferromagnetismus ist klassisch nicht erklärbar.
- ▶ Elektrostatische WW aufgrund des Pauli-Prinzips bzw. der antisymmetrischen Wellenfunktion.

- ▶ Magnetische Dipol-Dipol-WW: $E_D^i = 10^{-4} \text{ eV} \hat{=} 1.16 \text{ K}$
- ▶ Vergleiche mit $T_C = 1043 \text{ K}$ von Fe.
- ▶ Kann nicht der Ursprung der ferromagnetischen Ordnung sein. Nur Korrekturterm.
- ▶ Ferromagnetismus ist klassisch nicht erklärbar.
- ▶ Elektrostatische WW aufgrund des Pauli-Prinzips bzw. der antisymmetrischen Wellenfunktion.

Spinunabhängiger Hamilton
ohne WW

$$\mathcal{H} = \sum_{i=1}^2 \frac{\mathbf{p}_i^2}{2m} + V(\mathbf{r}_1, \mathbf{r}_2)$$

$$|\psi\rangle^- = |q\rangle^\pm |S\rangle^\mp$$

Mögliche Lösungen

$$|\psi_1\rangle^- = |q\rangle^+ |0\rangle^- \quad \text{oder}$$

$$|\psi_2\rangle^- = |q\rangle^- |1\rangle^+$$

$$\mathcal{H} |q\rangle^\pm = E_\pm |q\rangle^\pm$$

Falls $E_+ \neq E_-$, existiert eine
spontane magnetische
Ordnung.

Wähle effektiven $\tilde{\mathcal{H}}$ mit

$$\tilde{\mathcal{H}} |0\rangle^- = E_+ |0\rangle^-$$

$$\tilde{\mathcal{H}} |1\rangle^+ = E_- |1\rangle^+$$

\mathcal{H} und $\tilde{\mathcal{H}}$ sind offensichtlich
äquivalent in ihrer Wirkung.

Spinunabhängiger Hamilton
ohne WW

$$\mathcal{H} = \sum_{i=1}^2 \frac{\mathbf{p}_i^2}{2m} + V(\mathbf{r}_1, \mathbf{r}_2)$$

$$|\psi\rangle^- = |q\rangle^\pm |S\rangle^\mp$$

Mögliche Lösungen

$$|\psi_1\rangle^- = |q\rangle^+ |0\rangle^- \quad \text{oder}$$

$$|\psi_2\rangle^- = |q\rangle^- |1\rangle^+$$

$$\mathcal{H} |q\rangle^\pm = E_\pm |q\rangle^\pm$$

Falls $E_+ \neq E_-$, existiert eine
spontane magnetische
Ordnung.

Wähle effektiven $\tilde{\mathcal{H}}$ mit

$$\tilde{\mathcal{H}} |0\rangle^- = E_+ |0\rangle^-$$

$$\tilde{\mathcal{H}} |1\rangle^+ = E_- |1\rangle^+$$

\mathcal{H} und $\tilde{\mathcal{H}}$ sind offensichtlich
äquivalent in ihrer Wirkung.

Spinunabhängiger Hamilton
ohne WW

$$\mathcal{H} = \sum_{i=1}^2 \frac{\mathbf{p}_i^2}{2m} + V(\mathbf{r}_1, \mathbf{r}_2)$$

$$|\psi\rangle^- = |q\rangle^\pm |S\rangle^\mp$$

Mögliche Lösungen

$$|\psi_1\rangle^- = |q\rangle^+ |0\rangle^- \quad \text{oder}$$

$$|\psi_2\rangle^- = |q\rangle^- |1\rangle^+$$

$$\mathcal{H} |q\rangle^\pm = E_\pm |q\rangle^\pm$$

Falls $E_+ \neq E_-$, existiert eine
spontane magnetische
Ordnung.

Wähle effektiven $\tilde{\mathcal{H}}$ mit

$$\tilde{\mathcal{H}} |0\rangle^- = E_+ |0\rangle^-$$

$$\tilde{\mathcal{H}} |1\rangle^+ = E_- |1\rangle^+$$

\mathcal{H} und $\tilde{\mathcal{H}}$ sind offensichtlich
äquivalent in ihrer Wirkung.

Spinunabhängiger Hamilton
ohne WW

$$\mathcal{H} = \sum_{i=1}^2 \frac{\mathbf{p}_i^2}{2m} + V(\mathbf{r}_1, \mathbf{r}_2)$$

$$|\psi\rangle^- = |q\rangle^\pm |S\rangle^\mp$$

Mögliche Lösungen

$$|\psi_1\rangle^- = |q\rangle^+ |0\rangle^- \quad \text{oder}$$

$$|\psi_2\rangle^- = |q\rangle^- |1\rangle^+$$

$$\mathcal{H} |q\rangle^\pm = E_\pm |q\rangle^\pm$$

Falls $E_+ \neq E_-$, existiert eine
spontane magnetische
Ordnung.

Wähle effektiven $\tilde{\mathcal{H}}$ mit

$$\tilde{\mathcal{H}} |0\rangle^- = E_+ |0\rangle^-$$

$$\tilde{\mathcal{H}} |1\rangle^+ = E_- |1\rangle^+$$

\mathcal{H} und $\tilde{\mathcal{H}}$ sind offensichtlich
äquivalent in ihrer Wirkung.

Welche Form hat $\tilde{\mathcal{H}}$? Sei \mathbf{s}_i der Spin des i -ten Elektrons

$$\mathbf{s}_i^2 = s_i(s_i + 1) = \frac{3}{4} \quad \text{und für den Gesamtspin}$$

$$\begin{aligned} \mathbf{S}^2 &= (\mathbf{s}_1 + \mathbf{s}_2)^2 = S(S + 1) \\ &= \mathbf{s}_1^2 + \mathbf{s}_2^2 + 2\mathbf{s}_1 \cdot \mathbf{s}_2 = \frac{3}{2} + 2\mathbf{s}_1 \cdot \mathbf{s}_2 \end{aligned}$$

Somit gilt

$$\mathbf{s}_1 \cdot \mathbf{s}_2 = \frac{1}{2}S(S + 1) - \frac{3}{4} = \begin{cases} -\frac{3}{4} & \text{falls } S = 0 \\ +\frac{1}{4} & \text{falls } S = 1 \end{cases}$$

$$\Rightarrow \tilde{\mathcal{H}} = \frac{1}{4}(E_+ + 3E_-) - (E_+ - E_-)\mathbf{s}_1 \cdot \mathbf{s}_2$$

$$= J_0 - J_{12}\mathbf{s}_1 \cdot \mathbf{s}_2 \quad \text{Molekulares Heisenbergmodell}$$

Welche Form hat $\tilde{\mathcal{H}}$? Sei \mathbf{s}_i der Spin des i -ten Elektrons

$$\mathbf{s}_i^2 = s_i(s_i + 1) = \frac{3}{4} \quad \text{und für den Gesamtspin}$$

$$\begin{aligned} \mathbf{S}^2 &= (\mathbf{s}_1 + \mathbf{s}_2)^2 = S(S + 1) \\ &= \mathbf{s}_1^2 + \mathbf{s}_2^2 + 2\mathbf{s}_1 \cdot \mathbf{s}_2 = \frac{3}{2} + 2\mathbf{s}_1 \cdot \mathbf{s}_2 \end{aligned}$$

Somit gilt

$$\mathbf{s}_1 \cdot \mathbf{s}_2 = \frac{1}{2}S(S + 1) - \frac{3}{4} = \begin{cases} -\frac{3}{4} & \text{falls } S = 0 \\ +\frac{1}{4} & \text{falls } S = 1 \end{cases}$$

$$\Rightarrow \tilde{\mathcal{H}} = \frac{1}{4}(E_+ + 3E_-) - (E_+ - E_-)\mathbf{s}_1 \cdot \mathbf{s}_2$$

$$= J_0 - J_{12}\mathbf{s}_1 \cdot \mathbf{s}_2$$

Molekulares Heisenbergmodell

Welche Form hat $\tilde{\mathcal{H}}$? Sei \mathbf{s}_i der Spin des i -ten Elektrons

$$\mathbf{s}_i^2 = s_i(s_i + 1) = \frac{3}{4} \quad \text{und für den Gesamtspin}$$

$$\begin{aligned} \mathbf{S}^2 &= (\mathbf{s}_1 + \mathbf{s}_2)^2 = S(S + 1) \\ &= \mathbf{s}_1^2 + \mathbf{s}_2^2 + 2\mathbf{s}_1 \cdot \mathbf{s}_2 = \frac{3}{2} + 2\mathbf{s}_1 \cdot \mathbf{s}_2 \end{aligned}$$

Somit gilt

$$\mathbf{s}_1 \cdot \mathbf{s}_2 = \frac{1}{2}S(S + 1) - \frac{3}{4} = \begin{cases} -\frac{3}{4} & \text{falls } S = 0 \\ +\frac{1}{4} & \text{falls } S = 1 \end{cases}$$

$$\Rightarrow \tilde{\mathcal{H}} = \frac{1}{4}(E_+ + 3E_-) - (E_+ - E_-)\mathbf{s}_1 \cdot \mathbf{s}_2$$

$$= J_0 - J_{12}\mathbf{s}_1 \cdot \mathbf{s}_2 \quad \text{Molekulares Heisenbergmodell}$$

- ▶ Mithilfe der *Heitler-London* Methode kann für das H_2 -Molekül $J_{12} = E_+ - E_- \neq 0$ gezeigt werden.
- ▶ J_{12} kann durch das Überlappintegral, das Coulombintegral und das Austauschintegral ausgedrückt werden.
- ▶ Durch postulierte Verallgemeinerung erhält man das Heisenberg-Model für N Vielelektronenatome.
- ▶ Lässt sich in 1. Ordnung Störungstheorie formal ableiten (z.B. im *Dirac Vektor* Modell). Gibt aber keine Einsicht in physikalische Grundlagen.
- ▶ Meist kein akzeptabler Kopplungsmechanismus, da Überlappintegrale in magnetischen Ionen zu gering (große Abstände, selbst zu NN).

- ▶ Mithilfe der *Heitler-London* Methode kann für das H_2 -Molekül $J_{12} = E_+ - E_- \neq 0$ gezeigt werden.
- ▶ J_{12} kann durch das **Überlappintegral**, das Coulombintegral und das Austauschintegral ausgedrückt werden.
- ▶ Durch postulierte Verallgemeinerung erhält man das Heisenberg-Model für N Vielelektronenatome.
- ▶ Lässt sich in **1. Ordnung Störungstheorie** formal ableiten (z.B. im *Dirac Vektor* Modell). Gibt aber keine Einsicht in physikalische Grundlagen.
- ▶ Meist kein akzeptabler Kopplungsmechanismus, da Überlappintegrale in magnetischen Ionen zu gering (große Abstände, selbst zu NN).

- ▶ Mithilfe der *Heitler-London* Methode kann für das H_2 -Molekül $J_{12} = E_+ - E_- \neq 0$ gezeigt werden.
- ▶ J_{12} kann durch das **Überlappintegral**, das Coulombintegral und das Austauschintegral ausgedrückt werden.
- ▶ Durch postulierte Verallgemeinerung erhält man das Heisenberg-Model für N Vielelektronenatome.
- ▶ Lässt sich in **1. Ordnung Störungstheorie** formal ableiten (z.B. im *Dirac Vektor* Modell). Gibt aber keine Einsicht in physikalische Grundlagen.
- ▶ Meist kein akzeptabler Kopplungsmechanismus, da Überlappintegrale in magnetischen Ionen zu gering (große Abstände, selbst zu NN).

- ▶ Mithilfe der *Heitler-London* Methode kann für das H_2 -Molekül $J_{12} = E_+ - E_- \neq 0$ gezeigt werden.
- ▶ J_{12} kann durch das **Überlappintegral**, das Coulombintegral und das Austauschintegral ausgedrückt werden.
- ▶ Durch postulierte Verallgemeinerung erhält man das Heisenberg-Model für N Vielelektronenatome.
- ▶ Lässt sich in **1. Ordnung Störungstheorie** formal ableiten (z.B. im *Dirac Vektor* Modell). Gibt aber keine Einsicht in physikalische Grundlagen.
- ▶ Meist kein akzeptabler Kopplungsmechanismus, da Überlappintegrale in magnetischen Ionen zu gering (große Abstände, selbst zu NN).

- ▶ Mithilfe der *Heitler-London* Methode kann für das H_2 -Molekül $J_{12} = E_+ - E_- \neq 0$ gezeigt werden.
- ▶ J_{12} kann durch das **Überlappintegral**, das Coulombintegral und das Austauschintegral ausgedrückt werden.
- ▶ Durch postulierte Verallgemeinerung erhält man das Heisenberg-Model für N Vielelektronenatome.
- ▶ Lässt sich in **1. Ordnung Störungstheorie** formal ableiten (z.B. im *Dirac Vektor* Modell). Gibt aber keine Einsicht in physikalische Grundlagen.
- ▶ Meist kein akzeptabler Kopplungsmechanismus, da Überlappintegrale in magnetischen Ionen zu gering (große Abstände, selbst zu NN).

Eine von vielen *indirekten* Austausch-WW

2. Ordnung Störungstheorie.

Motiviert durch unterschiedliche Phänomene, je nach Konzentration von paramagnetischen Mn^{2+} -Ionen in nichtmagnetischer Cu Matrix:

- ▶ *Quenching* von 3d-Momenten
- ▶ *Kondo* Effekt
- ▶ *Spin Glass* Frustration
- ▶ *Ferromagnetische* Ordnung
- ▶ *Antiferromagnetische* Ordnung

Eine von vielen *indirekten* Austausch-WW

2. Ordnung Störungstheorie.

Motiviert durch unterschiedliche Phänomene, je nach Konzentration von paramagnetischen Mn^{2+} -Ionen in nichtmagnetischer Cu Matrix:

- ▶ *Quenching* von 3d-Momenten
- ▶ *Kondo* Effekt
- ▶ *Spin Glass* Frustration
- ▶ *Ferromagnetische* Ordnung
- ▶ *Antiferromagnetische* Ordnung

Verwende einfaches Sommerfeld Modell:

$$\mathcal{H}_0 = \sum_{\mathbf{k}\sigma} \epsilon(\mathbf{k}) c_{\mathbf{k}\sigma}^\dagger c_{\mathbf{k}\sigma}$$

Lokalisierte Spins \mathbf{S}_i sollen nicht miteinander wechselwirken, aber lokalisierte mit Bandelektroden \mathbf{s} :

$$\mathcal{H}_S = -J \sum_{i=1}^2 \mathbf{s}_i \cdot \mathbf{S}_i$$

\mathcal{H}_S trägt in 1. Ordnung nicht bei. In 2. Ordnung ergibt sich

$$\begin{aligned} E_0^{(2)} = \dots &= \frac{J}{2N^2} \sum_{\mathbf{k}\mathbf{q}} \sum_{ij} \theta(k_F - |\mathbf{k} + \mathbf{q}|) \theta(|\mathbf{k}| - k_f) \frac{e^{-iq(\mathbf{R}_i - \mathbf{R}_j)}}{\epsilon(\mathbf{k} + \mathbf{q}) - \epsilon(\mathbf{k})} \langle f | \mathbf{S}_i \cdot \mathbf{S}_j | f \rangle \\ &= - \sum_{ij} J_{ij}^{\text{RKKY}} (\mathbf{R}_i - \mathbf{R}_j) \langle f | \mathbf{S}_i \cdot \mathbf{S}_j | f \rangle \end{aligned}$$

mit dem Spinzustand $|f\rangle$ als
Lin.Komb. aller Orientierungen

Die Oszillation erklärt das Verhalten in Abhängigkeit vom Gitterabstand bzw. der Konzentration von Mn^{2+} .

Verwende einfaches Sommerfeld Modell:

$$\mathcal{H}_0 = \sum_{\mathbf{k}\sigma} \epsilon(\mathbf{k}) c_{\mathbf{k}\sigma}^\dagger c_{\mathbf{k}\sigma}$$

Lokalisierte Spins \mathbf{S}_i sollen nicht miteinander wechselwirken, aber lokalisierte mit Bandelektroden \mathbf{s} :

$$\mathcal{H}_S = -J \sum_{i=1}^2 \mathbf{s}_i \cdot \mathbf{S}_i$$

\mathcal{H}_S trägt in 1. Ordnung nicht bei. In 2. Ordnung ergibt sich

$$\begin{aligned} E_0^{(2)} &= \dots = \frac{J}{2N^2} \sum_{\mathbf{k}\mathbf{q}} \sum_{ij} \theta(k_F - |\mathbf{k} + \mathbf{q}|) \theta(|\mathbf{k}| - k_F) \frac{e^{-iq(\mathbf{R}_i - \mathbf{R}_j)}}{\epsilon(\mathbf{k} + \mathbf{q}) - \epsilon(\mathbf{k})} \langle f | \mathbf{S}_i \cdot \mathbf{S}_j | f \rangle \\ &= - \sum_{ij} J_{ij}^{\text{RKKY}}(\mathbf{R}_i - \mathbf{R}_j) \langle f | \mathbf{S}_i \cdot \mathbf{S}_j | f \rangle \end{aligned}$$

mit dem Spinzustand $|f\rangle$ als
Lin.Komb. aller Orientierungen

Die Oszillation erklärt das Verhalten in Abhängigkeit vom Gitterabstand bzw. der Konzentration von Mn^{2+} .

Verwende einfaches Sommerfeld Modell:

$$\mathcal{H}_0 = \sum_{\mathbf{k}\sigma} \epsilon(\mathbf{k}) c_{\mathbf{k}\sigma}^\dagger c_{\mathbf{k}\sigma}$$

Lokalisierte Spins \mathbf{S}_i sollen nicht miteinander wechselwirken, aber lokalisierte mit Bandelektroden \mathbf{s} :

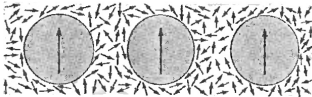
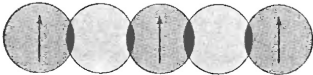
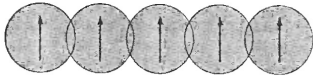
$$\mathcal{H}_S = -J \sum_{i=1}^2 \mathbf{s}_i \cdot \mathbf{S}_i$$

\mathcal{H}_S trägt in 1. Ordnung nicht bei. In 2. Ordnung ergibt sich

$$\begin{aligned} E_0^{(2)} &= \dots = \frac{J}{2N^2} \sum_{\mathbf{k}\mathbf{q}} \sum_{ij} \theta(k_F - |\mathbf{k} + \mathbf{q}|) \theta(|\mathbf{k}| - k_f) \frac{e^{-i\mathbf{q}(\mathbf{R}_i - \mathbf{R}_j)}}{\epsilon(\mathbf{k} + \mathbf{q}) - \epsilon(\mathbf{k})} \langle f | \mathbf{S}_i \cdot \mathbf{S}_j | f \rangle \\ &= - \sum_{ij} J_{ij}^{\text{RKKY}}(\mathbf{R}_i - \mathbf{R}_j) \langle f | \mathbf{S}_i \cdot \mathbf{S}_j | f \rangle \end{aligned}$$

mit dem Spinzustand $|f\rangle$ als
Lin.Komb. aller Orientierungen

Die Oszillation erklärt das Verhalten in Abhängigkeit vom Gitterabstand bzw. der Konzentration von Mn^{2+} .



Direkter Austausch

Superaustausch

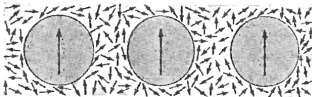
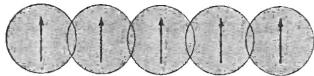
Indirekter Austausch (RKKY)

RKKY funktioniert nur für metallische Heisenberg Magnete, da $\propto n_e$.

Für magnetische Isolatoren
Superaustausch.

Semiklassischer Ansatz:
Hüpf-Prozessen t und
Vektormodell der Spins
 $\mathbf{S}_1 \cdot \mathbf{S}_2 = S^2 \cos \theta.$

\Rightarrow Heisenberg Hamiltonian



Direkter Austausch

Superaustausch

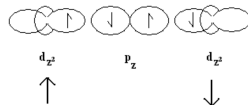
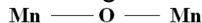
Indirekter Austausch (RKKY)

RKKY funktioniert nur für metallische Heisenberg Magnete, da $\propto n_e$.

Für magnetische Isolatoren
Superaustausch.

Semiklassischer Ansatz:
Hüpf-Prozessen t und
Vektormodell der Spins
 $\mathbf{S}_1 \cdot \mathbf{S}_2 = S^2 \cos \theta$.

\Rightarrow Heisenberg Hamiltonian



$$\mathcal{H} = - \sum_{i,j} J_{ij} \mathbf{S}_i \cdot \mathbf{S}_j$$

- ▶ Wie gezeigt wurde plausibles Modell.
- ▶ Beschreibt sehr realistisch

Ferromagnete ($J_{ij} > 0$): CrBr_3 , K_2CuF_4 , EuO , EuS , ..

Antiferromagnete ($J_{ij} < 0$): MnO , EuTe , NiO , RbMnF_3 , ..

Ferrimagnete ($J_{ij} < 0$): $\text{MO} \cdot \text{Fe}_2\text{O}_3$ ($\text{M}=\text{Fe}, \text{Ni}, \text{Cd}, \dots$)

- ▶ Konvention: $J_{ij} = J_{ji}$, $J_{ii} = 0$ und $\sum_i J_{ij} = J_0$.
- ▶ Modell ist rotationssymmetrisch.

$$\mathcal{H} = - \sum_{i,j} J_{ij} \mathbf{S}_i \cdot \mathbf{S}_j$$

- ▶ Wie gezeigt wurde plausibles Modell.
- ▶ Beschreibt sehr realistisch

Ferromagnete ($J_{ij} > 0$): CrBr_3 , K_2CuF_4 , EuO , EuS , ..

Antiferromagnete ($J_{ij} < 0$): MnO , EuTe , NiO , RbMnF_3 , ..

Ferrimagnete ($J_{ij} < 0$): $\text{MO} \cdot \text{Fe}_2\text{O}_3$ ($\text{M}=\text{Fe}, \text{Ni}, \text{Cd}, \dots$)

- ▶ Konvention: $J_{ij} = J_{ji}$, $J_{ii} = 0$ und $\sum_i J_{ij} = J_0$.
- ▶ Modell ist **rotationssymmetrisch**.

Goldstone's Theorem für nichtrelativistische Theorien

Zu jeder spontan gebrochenen Symmetrie korrespondiert ein Quasiteilchen ohne Bandlücke.

Rotationssymmetrie



Magnonen



Spinwellen



Spontane Symmetriebrechung

Quantisierungseinheit



Translationssymmetrie



Phononen



Gitterschwingungen



Shut up and calculate..

Goldstone's Theorem für nichtrelativistische Theorien

Zu jeder spontan gebrochenen Symmetrie korrespondiert ein Quasiteilchen ohne Bandlücke.

Rotationssymmetrie



Magnonen



Spinwellen



Spontane Symmetriebrechung

Quantisierungseinheit



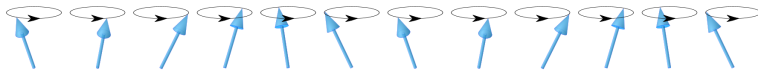
Translationssymmetrie



Phononen



Gitterschwingungen



Shut up and calculate..

Goldstone's Theorem für nichtrelativistische Theorien

Zu jeder spontan gebrochenen Symmetrie korrespondiert ein Quasiteilchen ohne Bandlücke.

Rotationssymmetrie



Magnonen



Spinwellen



Spontane Symmetriebrechung

Quantisierungseinheit



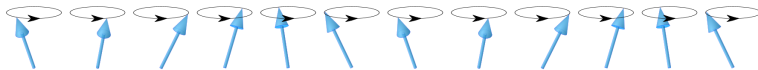
Translationssymmetrie



Phononen



Gitterschwingungen



?

Shut up and calculate..

Heisenberg-Modell mit lokalem Feld:

$$\mathcal{H} = - \sum_{i,j} J_{ij} \mathbf{S}_i \cdot \mathbf{S}_j - g_J \mu_B B_0 \sum_i S_i^z$$

Nutze $S_j^\pm = S_j^x \pm i S_j^y$,

$$S_j^x = \frac{1}{2} (S_j^+ + S_j^-), \quad S_j^y = \frac{1}{2i} (S_j^+ - S_j^-)$$

$$\begin{aligned} \Rightarrow \mathbf{S}_i \cdot \mathbf{S}_j &= S_i^x S_j^x + S_i^y S_j^y + S_i^z S_j^z \\ &= \frac{1}{2} (S_i^+ S_j^- + S_i^- S_j^+) + S_i^z S_j^z \end{aligned}$$

Heisenberg-Modell mit lokalem Feld:

$$\mathcal{H} = - \sum_{i,j} J_{ij} \mathbf{S}_i \cdot \mathbf{S}_j - g_J \mu_B B_0 \sum_i S_i^z$$

$$\text{Nutze } S_j^\pm = S_j^x \pm i S_j^y,$$

$$S_j^x = \frac{1}{2} (S_j^+ + S_j^-), \quad S_j^y = \frac{1}{2i} (S_j^+ - S_j^-)$$

$$\begin{aligned} \Rightarrow \mathbf{S}_i \cdot \mathbf{S}_j &= S_i^x S_j^x + S_i^y S_j^y + S_i^z S_j^z \\ &= \frac{1}{2} (S_i^+ S_j^- + S_i^- S_j^+) + S_i^z S_j^z \end{aligned}$$

Heisenberg-Modell mit lokalem Feld:

$$\mathcal{H} = - \sum_{i,j} J_{ij} \mathbf{S}_i \cdot \mathbf{S}_j - g_J \mu_B B_0 \sum_i S_i^z$$

$$\text{Nutze } S_j^\pm = S_j^x \pm i S_j^y,$$

$$S_j^x = \frac{1}{2} (S_j^+ + S_j^-), \quad S_j^y = \frac{1}{2i} (S_j^+ - S_j^-)$$

$$\begin{aligned} \Rightarrow \mathbf{S}_i \cdot \mathbf{S}_j &= S_i^x S_j^x + S_i^y S_j^y + S_i^z S_j^z \\ &= \frac{1}{2} (S_i^+ S_j^- + S_i^- S_j^+) + S_i^z S_j^z \end{aligned}$$

$$S^\alpha(\mathbf{k}) = \sum_i e^{-i\mathbf{k} \cdot \mathbf{R}_i} S_i^\alpha \quad \text{Diskrete Fourier-Transformation}$$

$$S_i^\alpha = \frac{1}{N} \sum_{\mathbf{k}} e^{i\mathbf{k} \cdot \mathbf{R}_i} S^\alpha(\mathbf{k}) \quad \alpha = (+, -, x, y, z)$$

Mit bekannten Kommutatoren
im Ortsraum:

$$[S_i^a, S_j^b] = \delta_{ij} i \epsilon^{abc} S_i^c$$

$$[S_i^z, S_j^\pm] = \pm \delta_{ij} S_i^\pm$$

$$[S_i^+, S_j^-] = 2\delta_{ij} S_i^z$$

$$S^\alpha(\mathbf{k}) = \sum_i e^{-i\mathbf{k} \cdot \mathbf{R}_i} S_i^\alpha \quad \text{Diskrete Fourier-Transformation}$$

$$S_i^\alpha = \frac{1}{N} \sum_{\mathbf{k}} e^{i\mathbf{k} \cdot \mathbf{R}_i} S^\alpha(\mathbf{k}) \quad \alpha = (+, -, x, y, z)$$

Mit bekannten Kommutatoren
im Ortsraum:

$$[S_i^a, S_j^b] = \delta_{ij} i \epsilon^{abc} S_i^c$$

$$[S_i^z, S_j^\pm] = \pm \delta_{ij} S_i^\pm$$

$$[S_i^+, S_j^-] = 2\delta_{ij} S_i^z$$

$$S^\alpha(\mathbf{k}) = \sum_i e^{-i\mathbf{k} \cdot \mathbf{R}_i} S_i^\alpha \quad \text{Diskrete Fourier-Transformation}$$

$$S_i^\alpha = \frac{1}{N} \sum_{\mathbf{k}} e^{i\mathbf{k} \cdot \mathbf{R}_i} S^\alpha(\mathbf{k}) \quad \alpha = (+, -, x, y, z)$$

Mit bekannten Kommutatoren
im Ortsraum:

$$[S_i^a, S_j^b] = \delta_{ij} i \epsilon^{abc} S_i^c$$

$$[S_i^z, S_j^\pm] = \pm \delta_{ij} S_i^\pm$$

$$[S_i^+, S_j^-] = 2\delta_{ij} S_i^z$$

Folgt im \mathbf{k} -Raum:

$$[S^+(\mathbf{k}_1), S^-(\mathbf{k}_2)] = \sum_{ij} e^{-i(\mathbf{k}_1 \cdot \mathbf{R}_i + \mathbf{k}_2 \cdot \mathbf{R}_j)} [S_i^+, S_j^-]$$

$$= 2 \sum_i e^{-i\mathbf{R}_i(\mathbf{k}_1 + \mathbf{k}_2)} S_i^z$$

$$= 2S^z(\mathbf{k}_1 + \mathbf{k}_2)$$

$$S^\alpha(\mathbf{k}) = \sum_i e^{-i\mathbf{k} \cdot \mathbf{R}_i} S_i^\alpha \quad \text{Diskrete Fourier-Transformation}$$

$$S_i^\alpha = \frac{1}{N} \sum_{\mathbf{k}} e^{i\mathbf{k} \cdot \mathbf{R}_i} S^\alpha(\mathbf{k}) \quad \alpha = (+, -, x, y, z)$$

Mit bekannten Kommutatoren
im Ortsraum:

$$[S_i^a, S_j^b] = \delta_{ij} i \epsilon^{abc} S_i^c$$

$$[S_i^z, S_j^\pm] = \pm \delta_{ij} S_i^\pm$$

$$[S_i^+, S_j^-] = 2\delta_{ij} S_i^z$$

Folgt im \mathbf{k} -Raum:

$$[S^+(\mathbf{k}_1), S^-(\mathbf{k}_2)] = \sum_{ij} e^{-i(\mathbf{k}_1 \cdot \mathbf{R}_i + \mathbf{k}_2 \cdot \mathbf{R}_j)} [S_i^+, S_j^-]$$

$$= 2 \sum_i e^{-i\mathbf{R}_i(\mathbf{k}_1 + \mathbf{k}_2)} S_i^z$$

$$= 2S^z(\mathbf{k}_1 + \mathbf{k}_2)$$

$$S^\alpha(\mathbf{k}) = \sum_i e^{-i\mathbf{k} \cdot \mathbf{R}_i} S_i^\alpha \quad \text{Diskrete Fourier-Transformation}$$

$$S_i^\alpha = \frac{1}{N} \sum_{\mathbf{k}} e^{i\mathbf{k} \cdot \mathbf{R}_i} S^\alpha(\mathbf{k}) \quad \alpha = (+, -, x, y, z)$$

Mit bekannten Kommutatoren
im Ortsraum:

$$[S_i^a, S_j^b] = \delta_{ij} i \epsilon^{abc} S_i^c$$

$$[S_i^z, S_j^\pm] = \pm \delta_{ij} S_i^\pm$$

$$[S_i^+, S_j^-] = 2\delta_{ij} S_i^z$$

Folgt im \mathbf{k} -Raum:

$$[S^+(\mathbf{k}_1), S^-(\mathbf{k}_2)] = 2S^z(\mathbf{k}_1 + \mathbf{k}_2)$$

$$[S^z(\mathbf{k}_1), S^\pm(\mathbf{k}_2)] = \pm S^\pm(\mathbf{k}_1 + \mathbf{k}_2)$$

sowie

$$S^+(\mathbf{k})^\dagger = S^-(\mathbf{k}) \quad S^z(\mathbf{k})^\dagger = S^z(\mathbf{k})$$

$$S^\alpha(\mathbf{k}) = \sum_i e^{-i\mathbf{k} \cdot \mathbf{R}_i} S_i^\alpha \quad \text{Diskrete Fourier-Transformation}$$

$$S_i^\alpha = \frac{1}{N} \sum_{\mathbf{k}} e^{i\mathbf{k} \cdot \mathbf{R}_i} S^\alpha(\mathbf{k}) \quad \alpha = (+, -, x, y, z)$$

Mit bekannten Kommutatoren
im Ortsraum:

$$[S_i^a, S_j^b] = \delta_{ij} i \epsilon^{abc} S_i^c$$

$$[S_i^z, S_j^\pm] = \pm \delta_{ij} S_i^\pm$$

$$[S_i^+, S_j^-] = 2\delta_{ij} S_i^z$$

Folgt im \mathbf{k} -Raum:

$$[S^+(\mathbf{k}_1), S^-(\mathbf{k}_2)] = 2S^z(\mathbf{k}_1 + \mathbf{k}_2)$$

$$[S^z(\mathbf{k}_1), S^\pm(\mathbf{k}_2)] = \pm S^\pm(\mathbf{k}_1 + \mathbf{k}_2)$$

sowie

$$S^+(\mathbf{k})^\dagger = S^-(\mathbf{k}) \quad S^z(\mathbf{k})^\dagger = S^z(\mathbf{k})$$

Umformulierung des Heisenberg-Modells

$$\mathbf{s}_i \cdot \mathbf{s}_j = \frac{1}{2} (S_i^+ S_j^- + S_i^- S_j^+) + S_i^z S_j^z \quad S_i^\alpha = \frac{1}{N} \sum_{\mathbf{k}} e^{i\mathbf{k} \cdot \mathbf{R}_i} S^\alpha(\mathbf{k})$$

$$\begin{aligned}\mathcal{H} &= - \sum_{ij} J_{ij} \mathbf{s}_i \cdot \mathbf{s}_j - g_J \mu_B B_0 \sum_i S_i^z \\&= - \sum_{ij} J_{ij} (S_i^+ S_j^- + S_i^z S_j^z) - g_J \mu_B B_0 \sum_i S_i^z \\&= - \frac{1}{N} \sum_{\mathbf{k}} J(\mathbf{k}) (S^+(\mathbf{k}) S^-(\mathbf{-k}) + S^z(\mathbf{k}) S^z(\mathbf{-k})) \\&\quad - g_J \mu_B B_0 S^z(\mathbf{0})\end{aligned}$$

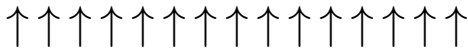
$$\text{mit } J(\mathbf{k}) = \frac{1}{N} \sum_{ij} J_{ij} e^{i\mathbf{k}(\mathbf{R}_i - \mathbf{R}_j)}$$

Umformulierung des Heisenberg-Modells

$$\mathbf{s}_i \cdot \mathbf{s}_j = \frac{1}{2} (S_i^+ S_j^- + S_i^- S_j^+) + S_i^z S_j^z \quad S_i^\alpha = \frac{1}{N} \sum_{\mathbf{k}} e^{i\mathbf{k} \cdot \mathbf{R}_i} S^\alpha(\mathbf{k})$$

$$\begin{aligned}\mathcal{H} &= - \sum_{ij} J_{ij} \mathbf{s}_i \cdot \mathbf{s}_j - g_J \mu_B B_0 \sum_i S_i^z \\ &= - \sum_{ij} J_{ij} (S_i^+ S_j^- + S_i^z S_j^z) - g_J \mu_B B_0 \sum_i S_i^z \\ &= - \frac{1}{N} \sum_{\mathbf{k}} J(\mathbf{k}) (S^+(\mathbf{k}) S^-(\mathbf{-k}) + S^z(\mathbf{k}) S^z(\mathbf{-k})) \\ &\quad - g_J \mu_B B_0 S^z(\mathbf{0})\end{aligned}$$

$$\text{mit } J(\mathbf{k}) = \frac{1}{N} \sum_{ij} J_{ij} e^{i\mathbf{k}(\mathbf{R}_i - \mathbf{R}_j)}$$



$|0\rangle$ entspricht der totalen Ausrichtung der Spins
(*ferromagnetische Sättigung*).

Die Wirkung der Spinoperatoren ist klar:

$$S_i^z |0\rangle = S |0\rangle \quad \Rightarrow \quad S^z(\mathbf{k}) |0\rangle = S |0\rangle \sum_i e^{-i\mathbf{k}\mathbf{R}_i} = NS |0\rangle \delta_{\mathbf{k}0},$$

$$\text{da } \delta_{\mathbf{k}\mathbf{k}'} = \frac{1}{N} \sum_i e^{-i(\mathbf{k}-\mathbf{k}')\mathbf{R}_i}$$

$$S_i^+ |0\rangle = 0 \quad \Rightarrow \quad S^+(\mathbf{k}) |0\rangle = 0$$



$|0\rangle$ entspricht der totalen Ausrichtung der Spins
(*ferromagnetische Sättigung*).

Die Wirkung der Spinoperatoren ist klar:

$$S_i^z |0\rangle = S |0\rangle \quad \Rightarrow \quad S^z(\mathbf{k}) |0\rangle = S |0\rangle \sum_i e^{-i\mathbf{k}\mathbf{R}_i} = NS |0\rangle \delta_{\mathbf{k}0},$$

$$\text{da } \delta_{\mathbf{k}\mathbf{k}'} = \frac{1}{N} \sum_i e^{-i(\mathbf{k}-\mathbf{k}')\mathbf{R}_i}$$

$$S_i^+ |0\rangle = 0 \quad \Rightarrow \quad S^+(\mathbf{k}) |0\rangle = 0$$

Grundzustandsenergie E_0

$$[S^+(\mathbf{k}_1), S^-(\mathbf{k}_2)] = 2S^z(\mathbf{k}_1 + \mathbf{k}_2) \quad S^z(\mathbf{k})|0\rangle = NS|0\rangle\delta_{\mathbf{k}0} \quad S^+(\mathbf{k})|0\rangle = 0$$

Damit folgt für \mathcal{H} mit $\frac{1}{N} \sum_{\mathbf{k}} J(\mathbf{k}) = \frac{1}{N} \sum_{\mathbf{k}} \frac{1}{N} \sum_{ij} J_{ij} e^{i\mathbf{k}(\mathbf{R}_i - \mathbf{R}_j)} = J_{ii}$

$$\begin{aligned} -\frac{1}{N} \sum_{\mathbf{k}} J(\mathbf{k}) S^+(\mathbf{k}) S^-(\mathbf{k}) |0\rangle &= -\frac{1}{N} \sum_{\mathbf{k}} J(\mathbf{k}) [S^-(\mathbf{k}) S^+(\mathbf{k}) + 2S^z(\mathbf{0})] |0\rangle \\ &= -2NSJ_{ii} = 0 \end{aligned}$$

$$-\frac{1}{N} \sum_{\mathbf{k}} J(\mathbf{k}) S^z(\mathbf{k}) S^z(-\mathbf{k}) |0\rangle = -\frac{1}{N} J(\mathbf{0}) S^z(\mathbf{0}) NS |0\rangle = -NS^2 J_0 |0\rangle$$

und somit ist die Grundzustandsenergie E_0

$$\begin{aligned} \mathcal{H} |0\rangle &= \left[-\frac{1}{N} \sum_{\mathbf{k}} J(\mathbf{k}) (S^+(\mathbf{k}) S^-(\mathbf{k}) + S^z(\mathbf{k}) S^z(-\mathbf{k})) - g_J \mu_B B_0 S^z(\mathbf{0}) \right] |0\rangle \\ &= (-NS^2 J_0 - NSg_J \mu_B B_0) |0\rangle = E_0 |0\rangle \end{aligned}$$

Grundzustandsenergie E_0

$$[S^+(\mathbf{k}_1), S^-(\mathbf{k}_2)] = 2S^z(\mathbf{k}_1 + \mathbf{k}_2) \quad S^z(\mathbf{k})|0\rangle = NS|0\rangle\delta_{\mathbf{k}0} \quad S^+(\mathbf{k})|0\rangle = 0$$

Damit folgt für \mathcal{H} mit $\frac{1}{N} \sum_{\mathbf{k}} J(\mathbf{k}) = \frac{1}{N} \sum_{\mathbf{k}} \frac{1}{N} \sum_{ij} J_{ij} e^{i\mathbf{k}(\mathbf{R}_i - \mathbf{R}_j)} = J_{ii}$

$$\begin{aligned} -\frac{1}{N} \sum_{\mathbf{k}} J(\mathbf{k}) S^+(\mathbf{k}) S^-(\mathbf{k}) |0\rangle &= -\frac{1}{N} \sum_{\mathbf{k}} J(\mathbf{k}) [S^-(\mathbf{k}) S^+(\mathbf{k}) + 2S^z(\mathbf{0})] |0\rangle \\ &= -2NSJ_{ii} = 0 \end{aligned}$$

$$-\frac{1}{N} \sum_{\mathbf{k}} J(\mathbf{k}) S^z(\mathbf{k}) S^z(-\mathbf{k}) |0\rangle = -\frac{1}{N} J(\mathbf{0}) S^z(\mathbf{0}) NS |0\rangle = -NS^2 J_0 |0\rangle$$

und somit ist die Grundzustandsenergie E_0

$$\begin{aligned} \mathcal{H} |0\rangle &= \left[-\frac{1}{N} \sum_{\mathbf{k}} J(\mathbf{k}) (S^+(\mathbf{k}) S^-(\mathbf{k}) + S^z(\mathbf{k}) S^z(-\mathbf{k})) - g_J \mu_B B_0 S^z(\mathbf{0}) \right] |0\rangle \\ &= (-NS^2 J_0 - NSg_J \mu_B B_0) |0\rangle = E_0 |0\rangle \end{aligned}$$

Grundzustandsenergie E_0

$$[S^+(\mathbf{k}_1), S^-(\mathbf{k}_2)] = 2S^z(\mathbf{k}_1 + \mathbf{k}_2) \quad S^z(\mathbf{k})|0\rangle = NS|0\rangle\delta_{\mathbf{k}0} \quad S^+(\mathbf{k})|0\rangle = 0$$

Damit folgt für \mathcal{H} mit $\frac{1}{N} \sum_{\mathbf{k}} J(\mathbf{k}) = \frac{1}{N} \sum_{\mathbf{k}} \frac{1}{N} \sum_{ij} J_{ij} e^{i\mathbf{k}(\mathbf{R}_i - \mathbf{R}_j)} = J_{ii}$

$$\begin{aligned} -\frac{1}{N} \sum_{\mathbf{k}} J(\mathbf{k}) S^+(\mathbf{k}) S^-(\mathbf{k}) |0\rangle &= -\frac{1}{N} \sum_{\mathbf{k}} J(\mathbf{k}) [S^-(\mathbf{k}) S^+(\mathbf{k}) + 2S^z(\mathbf{0})] |0\rangle \\ &= -2NSJ_{ii} = 0 \end{aligned}$$

$$-\frac{1}{N} \sum_{\mathbf{k}} J(\mathbf{k}) S^z(\mathbf{k}) S^z(-\mathbf{k}) |0\rangle = -\frac{1}{N} J(\mathbf{0}) S^z(\mathbf{0}) NS |0\rangle = -NS^2 J_0 |0\rangle$$

und somit ist die Grundzustandsenergie E_0

$$\begin{aligned} \mathcal{H} |0\rangle &= \left[-\frac{1}{N} \sum_{\mathbf{k}} J(\mathbf{k}) (S^+(\mathbf{k}) S^-(\mathbf{k}) + S^z(\mathbf{k}) S^z(-\mathbf{k})) - g_J \mu_B B_0 S^z(\mathbf{0}) \right] |0\rangle \\ &= (-NS^2 J_0 - NSg_J \mu_B B_0) |0\rangle = E_0 |0\rangle \end{aligned}$$

Grundzustandsenergie E_0

$$[S^+(\mathbf{k}_1), S^-(\mathbf{k}_2)] = 2S^z(\mathbf{k}_1 + \mathbf{k}_2) \quad S^z(\mathbf{k})|0\rangle = NS|0\rangle\delta_{\mathbf{k}0} \quad S^+(\mathbf{k})|0\rangle = 0$$

Damit folgt für \mathcal{H} mit $\frac{1}{N} \sum_{\mathbf{k}} J(\mathbf{k}) = \frac{1}{N} \sum_{\mathbf{k}} \frac{1}{N} \sum_{ij} J_{ij} e^{i\mathbf{k}(\mathbf{R}_i - \mathbf{R}_j)} = J_{ii}$

$$\begin{aligned} -\frac{1}{N} \sum_{\mathbf{k}} J(\mathbf{k}) S^+(\mathbf{k}) S^-(\mathbf{k}) |0\rangle &= -\frac{1}{N} \sum_{\mathbf{k}} J(\mathbf{k}) [S^-(\mathbf{k}) S^+(\mathbf{k}) + 2S^z(\mathbf{0})] |0\rangle \\ &= -2NSJ_{ii} = 0 \end{aligned}$$

$$-\frac{1}{N} \sum_{\mathbf{k}} J(\mathbf{k}) S^z(\mathbf{k}) S^z(-\mathbf{k}) |0\rangle = -\frac{1}{N} J(\mathbf{0}) S^z(\mathbf{0}) NS |0\rangle = -NS^2 J_0 |0\rangle$$

und somit ist die Grundzustandsenergie E_0

$$\begin{aligned} \mathcal{H} |0\rangle &= \left[-\frac{1}{N} \sum_{\mathbf{k}} J(\mathbf{k}) (S^+(\mathbf{k}) S^-(\mathbf{k}) + S^z(\mathbf{k}) S^z(-\mathbf{k})) - g_J \mu_B B_0 S^z(\mathbf{0}) \right] |0\rangle \\ &= (-NS^2 J_0 - NSg_J \mu_B B_0) |0\rangle = E_0 |0\rangle \end{aligned}$$

Grundzustandsenergie E_0

$$[S^+(\mathbf{k}_1), S^-(\mathbf{k}_2)] = 2S^z(\mathbf{k}_1 + \mathbf{k}_2) \quad S^z(\mathbf{k})|0\rangle = NS|0\rangle\delta_{\mathbf{k}0} \quad S^+(\mathbf{k})|0\rangle = 0$$

Damit folgt für \mathcal{H} mit $\frac{1}{N} \sum_{\mathbf{k}} J(\mathbf{k}) = \frac{1}{N} \sum_{\mathbf{k}} \frac{1}{N} \sum_{ij} J_{ij} e^{i\mathbf{k}(\mathbf{R}_i - \mathbf{R}_j)} = J_{ii}$

$$\begin{aligned} -\frac{1}{N} \sum_{\mathbf{k}} J(\mathbf{k}) S^+(\mathbf{k}) S^-(\mathbf{k}) |0\rangle &= -\frac{1}{N} \sum_{\mathbf{k}} J(\mathbf{k}) [S^-(\mathbf{k}) S^+(\mathbf{k}) + 2S^z(\mathbf{0})] |0\rangle \\ &= -2NSJ_{ii} = 0 \end{aligned}$$

$$-\frac{1}{N} \sum_{\mathbf{k}} J(\mathbf{k}) S^z(\mathbf{k}) S^z(-\mathbf{k}) |0\rangle = -\frac{1}{N} J(\mathbf{0}) S^z(\mathbf{0}) NS |0\rangle = -NS^2 J_0 |0\rangle$$

und somit ist die Grundzustandsenergie E_0

$$\begin{aligned} \mathcal{H} |0\rangle &= \left[-\frac{1}{N} \sum_{\mathbf{k}} J(\mathbf{k}) (S^+(\mathbf{k}) S^-(\mathbf{k}) + S^z(\mathbf{k}) S^z(-\mathbf{k})) - g_J \mu_B B_0 S^z(\mathbf{0}) \right] |0\rangle \\ &= (-NS^2 J_0 - NSg_J \mu_B B_0) |0\rangle = E_0 |0\rangle \end{aligned}$$

Ein-Magnonen-Zustand

$$J(\mathbf{k}) = \frac{1}{N} \sum_{ij} J_{ij} e^{ik(R_i - R_j)} \quad S^z(\mathbf{k}) |0\rangle = NS |0\rangle \delta_{\mathbf{k}0}$$

Zeige nun $S^-(\mathbf{k}) |0\rangle$ ist auch Eigenzustand. Dazu

$$[\mathcal{H}, S^-(\mathbf{k})] = -\frac{1}{N} \sum_{\mathbf{p}} J(\mathbf{p}) \left([S^+(\mathbf{p}), S^-(\mathbf{k})] S^-(\mathbf{-p}) + \right.$$

$$S^z(\mathbf{p}) [S^z(\mathbf{-p}), S^-(\mathbf{k})] +$$

$$[S^z(\mathbf{p}), S^-(\mathbf{k})] S^z(\mathbf{-p}) \Big) -$$

$$g_j \mu_B B_0 [S^z(\mathbf{0}), S^-(\mathbf{k})]$$

$$= \dots \left(2S^z(\mathbf{p} + \mathbf{k}) S^-(\mathbf{-p}) \right.$$

$$- S^z(\mathbf{p}) S^-(\mathbf{k} - \mathbf{p}) - S^-(\mathbf{k} + \mathbf{p}) S^z(\mathbf{-p}) \Big) +$$

$$g_j \mu_B B_0 S^-(\mathbf{k})$$

$$(\text{komm.}) = g_j \mu_B B_0 S^-(\mathbf{k}) - \frac{1}{N} \sum_{\mathbf{p}} J(\mathbf{p}) \left(-2S^-(\mathbf{k}) + \right.$$

$$2S^-(\mathbf{-p}) S^z(\mathbf{p} + \mathbf{k}) + S^-(\mathbf{k}) - S^-(\mathbf{k} - \mathbf{p}) S^z(\mathbf{p}) -$$

$$S^-(\mathbf{k} + \mathbf{p}) S^z(\mathbf{-p}) \Big)$$

$$\sum_{\mathbf{p}} J(\mathbf{p}) = 0$$

$$\Rightarrow [\mathcal{H}, S^-(\mathbf{k})] |0\rangle = \omega(\mathbf{k}) S^-(\mathbf{k}) |0\rangle$$

mit $J(\mathbf{p}) = J(\mathbf{-p})$ gilt

$$\omega(\mathbf{k}) = g_j \mu_B B_0 + 2S(J_0 - J(\mathbf{k}))$$

Nun folgt

$$\mathcal{H} (S^-(\mathbf{k}) |0\rangle)$$

$$= S^-(\mathbf{k}) \mathcal{H} |0\rangle + [\mathcal{H}, S^-(\mathbf{k})] |0\rangle$$

$$= (E_0 + \omega(\mathbf{k})) S^-(\mathbf{k}) |0\rangle ,$$

die Energie des
Ein-Magnonen-Zustands.

Ein-Magnonen-Zustand

$$J(\mathbf{k}) = \frac{1}{N} \sum_{ij} J_{ij} e^{ik(\mathbf{R}_i - \mathbf{R}_j)} \quad S^z(\mathbf{k}) |0\rangle = NS |0\rangle \delta_{\mathbf{k}0}$$

Zeige nun $S^-(\mathbf{k}) |0\rangle$ ist auch Eigenzustand. Dazu

$$[\mathcal{H}, S^-(\mathbf{k})] = -\frac{1}{N} \sum_{\mathbf{p}} J(\mathbf{p}) \left([S^+(\mathbf{p}), S^-(\mathbf{k})] S^-(\mathbf{-p}) + \right.$$

$$S^z(\mathbf{p}) [S^z(\mathbf{-p}), S^-(\mathbf{k})] +$$

$$[S^z(\mathbf{p}), S^-(\mathbf{k})] S^z(\mathbf{-p}) \Big) -$$

$$g_j \mu_B B_0 [S^z(\mathbf{0}), S^-(\mathbf{k})]$$

$$= \dots \left(2S^z(\mathbf{p} + \mathbf{k}) S^-(\mathbf{-p}) \right.$$

$$- S^z(\mathbf{p}) S^-(\mathbf{k} - \mathbf{p}) - S^-(\mathbf{k} + \mathbf{p}) S^z(\mathbf{-p}) \Big) +$$

$$g_j \mu_B B_0 S^-(\mathbf{k})$$

$$\sum_{\mathbf{p}} J(\mathbf{p}) = 0$$

$$\Rightarrow [\mathcal{H}, S^-(\mathbf{k})] |0\rangle = \omega(\mathbf{k}) S^-(\mathbf{k}) |0\rangle$$

mit $J(\mathbf{p}) = J(\mathbf{-p})$ gilt

$$\omega(\mathbf{k}) = g_j \mu_B B_0 + 2S(J_0 - J(\mathbf{k}))$$

Nun folgt

$$\mathcal{H} (S^-(\mathbf{k}) |0\rangle)$$

$$= S^-(\mathbf{k}) \mathcal{H} |0\rangle + [\mathcal{H}, S^-(\mathbf{k})] |0\rangle$$

$$= (E_0 + \omega(\mathbf{k})) S^-(\mathbf{k}) |0\rangle ,$$

die Energie des
Ein-Magnonen-Zustands.

$$(\text{komm.}) = g_j \mu_B B_0 S^-(\mathbf{k}) - \frac{1}{N} \sum_{\mathbf{p}} J(\mathbf{p}) \left(-2S^-(\mathbf{k}) + \right.$$

$$2S^-(\mathbf{-p}) S^z(\mathbf{p} + \mathbf{k}) + S^-(\mathbf{k}) - S^-(\mathbf{k} - \mathbf{p}) S^z(\mathbf{p}) -$$

$$S^-(\mathbf{k} + \mathbf{p}) S^z(\mathbf{-p}) \Big)$$

Ein-Magnonen-Zustand

$$J(\mathbf{k}) = \frac{1}{N} \sum_{ij} J_{ij} e^{ik(R_i - R_j)} \quad S^z(\mathbf{k}) |0\rangle = NS |0\rangle \delta_{\mathbf{k}0}$$

Zeige nun $S^-(\mathbf{k}) |0\rangle$ ist auch Eigenzustand. Dazu

$$\begin{aligned} [\mathcal{H}, S^-(\mathbf{k})] &= -\frac{1}{N} \sum_{\mathbf{p}} J(\mathbf{p}) \left([S^+(\mathbf{p}), S^-(\mathbf{k})] S^-(\mathbf{-p}) + \right. \\ &\quad S^z(\mathbf{p}) [S^z(\mathbf{-p}), S^-(\mathbf{k})] + \\ &\quad \left. [S^z(\mathbf{p}), S^-(\mathbf{k})] S^z(\mathbf{-p}) \right) - \\ &\quad g_{\text{J}\mu_{\text{B}}} B_0 [S^z(\mathbf{0}), S^-(\mathbf{k})] \\ &= \dots \left(2S^z(\mathbf{p} + \mathbf{k}) S^-(\mathbf{-p}) \right. \\ &\quad \left. - S^z(\mathbf{p}) S^-(\mathbf{k} - \mathbf{p}) - S^-(\mathbf{k} + \mathbf{p}) S^z(\mathbf{-p}) \right) + \\ &\quad g_{\text{J}\mu_{\text{B}}} B_0 S^-(\mathbf{k}) \end{aligned}$$

$$\sum_{\mathbf{p}} J(\mathbf{p}) = 0$$

$$\Rightarrow [\mathcal{H}, S^-(\mathbf{k})] |0\rangle = \omega(\mathbf{k}) S^-(\mathbf{k}) |0\rangle$$

mit $J(\mathbf{p}) = J(\mathbf{-p})$ gilt

$$\omega(\mathbf{k}) = g_{\text{J}\mu_{\text{B}}} B_0 + 2S(J_0 - J(\mathbf{k}))$$

Nun folgt

$$\begin{aligned} \mathcal{H} (S^-(\mathbf{k}) |0\rangle) &= S^-(\mathbf{k}) \mathcal{H} |0\rangle + [\mathcal{H}, S^-(\mathbf{k})] |0\rangle \\ &= (E_0 + \omega(\mathbf{k})) S^-(\mathbf{k}) |0\rangle, \end{aligned}$$

die Energie des
Ein-Magnonen-Zustands.

$$\begin{aligned} (\text{komm.}) &= g_{\text{J}\mu_{\text{B}}} B_0 S^-(\mathbf{k}) - \frac{1}{N} \sum_{\mathbf{p}} J(\mathbf{p}) \left(-2S^-(\mathbf{k}) + \right. \\ &\quad 2S^-(\mathbf{-p}) S^z(\mathbf{p} + \mathbf{k}) + S^-(\mathbf{k}) - S^-(\mathbf{k} - \mathbf{p}) S^z(\mathbf{p}) - \\ &\quad \left. S^-(\mathbf{k} + \mathbf{p}) S^z(\mathbf{-p}) \right) \end{aligned}$$

Ein-Magnonen-Zustand

$$J(\mathbf{k}) = \frac{1}{N} \sum_{ij} J_{ij} e^{ik(R_i - R_j)} \quad S^z(\mathbf{k}) |0\rangle = NS |0\rangle \delta_{\mathbf{k}0}$$

Zeige nun $S^-(\mathbf{k}) |0\rangle$ ist auch Eigenzustand. Dazu

$$[\mathcal{H}, S^-(\mathbf{k})] = -\frac{1}{N} \sum_{\mathbf{p}} J(\mathbf{p}) \left([S^+(\mathbf{p}), S^-(\mathbf{k})] S^-(\mathbf{-p}) + \right.$$

$$S^z(\mathbf{p}) [S^z(\mathbf{-p}), S^-(\mathbf{k})] + \\ [S^z(\mathbf{p}), S^-(\mathbf{k})] S^z(\mathbf{-p}) - \\ g_{\text{j}\mu_{\text{B}}} B_0 [S^z(\mathbf{0}), S^-(\mathbf{k})]$$

$$= \dots \left(2S^z(\mathbf{p} + \mathbf{k}) S^-(\mathbf{-p}) \right. \\ \left. - S^z(\mathbf{p}) S^-(\mathbf{k} - \mathbf{p}) - S^-(\mathbf{k} + \mathbf{p}) S^z(\mathbf{-p}) + \right. \\ \left. g_{\text{j}\mu_{\text{B}}} B_0 S^-(\mathbf{k}) \right)$$

$$(\text{komm.}) = g_{\text{j}\mu_{\text{B}}} B_0 S^-(\mathbf{k}) - \frac{1}{N} \sum_{\mathbf{p}} J(\mathbf{p}) \left(-2S^-(\mathbf{k}) + \right.$$

$$2S^-(\mathbf{-p}) S^z(\mathbf{p} + \mathbf{k}) + S^-(\mathbf{k}) - S^-(\mathbf{k} - \mathbf{p}) S^z(\mathbf{p}) - \\ S^-(\mathbf{k} + \mathbf{p}) S^z(\mathbf{-p}) \left. \right)$$

$$\sum_{\mathbf{p}} J(\mathbf{p}) = 0$$

$$\Rightarrow [\mathcal{H}, S^-(\mathbf{k})] |0\rangle = \omega(\mathbf{k}) S^-(\mathbf{k}) |0\rangle$$

mit $J(\mathbf{p}) = J(\mathbf{-p})$ gilt

$$\omega(\mathbf{k}) = g_{\text{j}\mu_{\text{B}}} B_0 + 2S(J_0 - J(\mathbf{k}))$$

Nun folgt

$$\mathcal{H} (S^-(\mathbf{k}) |0\rangle) \\ = S^-(\mathbf{k}) \mathcal{H} |0\rangle + [\mathcal{H}, S^-(\mathbf{k})] |0\rangle \\ = (E_0 + \omega(\mathbf{k})) S^-(\mathbf{k}) |0\rangle ,$$

die Energie des
Ein-Magnonen-Zustands.

Ein-Magnonen-Zustand

$$J(\mathbf{k}) = \frac{1}{N} \sum_{ij} J_{ij} e^{ik(R_i - R_j)} \quad S^z(\mathbf{k}) |0\rangle = NS |0\rangle \delta_{\mathbf{k}0}$$

Zeige nun $S^-(\mathbf{k}) |0\rangle$ ist auch Eigenzustand. Dazu

$$[\mathcal{H}, S^-(\mathbf{k})] = -\frac{1}{N} \sum_{\mathbf{p}} J(\mathbf{p}) \left([S^+(\mathbf{p}), S^-(\mathbf{k})] S^-(\mathbf{-p}) + \right.$$

$$S^z(\mathbf{p}) [S^z(\mathbf{-p}), S^-(\mathbf{k})] +$$

$$[S^z(\mathbf{p}), S^-(\mathbf{k})] S^z(\mathbf{-p}) \Big) -$$

$$g_{\text{j}\mu_{\text{B}}} B_0 [S^z(\mathbf{0}), S^-(\mathbf{k})]$$

$$= \dots \left(2S^z(\mathbf{p} + \mathbf{k}) S^-(\mathbf{-p}) \right.$$

$$- S^z(\mathbf{p}) S^-(\mathbf{k} - \mathbf{p}) - S^-(\mathbf{k} + \mathbf{p}) S^z(\mathbf{-p}) \Big) +$$

$$g_{\text{j}\mu_{\text{B}}} B_0 S^-(\mathbf{k})$$

$$(\text{komm.}) = g_{\text{j}\mu_{\text{B}}} B_0 S^-(\mathbf{k}) - \frac{1}{N} \sum_{\mathbf{p}} J(\mathbf{p}) \left(-2S^-(\mathbf{k}) + \right.$$

$$2S^-(\mathbf{-p}) S^z(\mathbf{p} + \mathbf{k}) + S^-(\mathbf{k}) - S^-(\mathbf{k} - \mathbf{p}) S^z(\mathbf{p}) -$$

$$S^-(\mathbf{k} + \mathbf{p}) S^z(\mathbf{-p}) \Big)$$

$$\sum_{\mathbf{p}} J(\mathbf{p}) = 0$$

$$\Rightarrow [\mathcal{H}, S^-(\mathbf{k})] |0\rangle = \omega(\mathbf{k}) S^-(\mathbf{k}) |0\rangle$$

mit $J(\mathbf{p}) = J(\mathbf{-p})$ gilt

$$\omega(\mathbf{k}) = g_{\text{j}\mu_{\text{B}}} B_0 + 2S(J_0 - J(\mathbf{k}))$$

Nun folgt

$$\mathcal{H} (S^-(\mathbf{k}) |0\rangle)$$

$$= S^-(\mathbf{k}) \mathcal{H} |0\rangle + [\mathcal{H}, S^-(\mathbf{k})] |0\rangle$$

$$= (E_0 + \omega(\mathbf{k})) S^-(\mathbf{k}) |0\rangle ,$$

die Energie des
Ein-Magnonen-Zustands.

Sei $|0\rangle$ normiert, dann gilt:

$$\begin{aligned}\langle 0 | S^+(-\mathbf{k}) S^-(\mathbf{k}) | 0 \rangle &= \langle 0 | (2S^z(\mathbf{0}) + S^-(\mathbf{k}) S^+(-\mathbf{k})) | 0 \rangle \\ &= 2NS\end{aligned}$$

Normierter Ein-Magnonenzustand

$$|\mathbf{k}\rangle = \frac{1}{\sqrt{2SN}} S^-(\mathbf{k}) |0\rangle$$

Analog lässt sich berechnen: $\langle \mathbf{k} | S_j^z | \mathbf{k} \rangle = \dots = S - \frac{1}{N}$.

D.h. jeder Gitterplatz trägt \hbar/N zur Spinwelle bei.

\Rightarrow Magnonen sind Bosonen
mit $S=1$

z-Achse

Spins

Sei $|0\rangle$ normiert, dann gilt:

$$\begin{aligned}\langle 0 | S^+(-\mathbf{k}) S^-(\mathbf{k}) | 0 \rangle &= \langle 0 | (2S^z(\mathbf{0}) + S^-(\mathbf{k}) S^+(-\mathbf{k})) | 0 \rangle \\ &= 2NS\end{aligned}$$

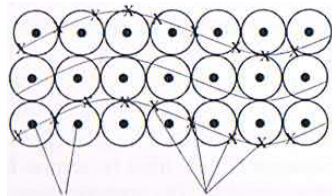
Normierter Ein-Magnonenzustand

$$|\mathbf{k}\rangle = \frac{1}{\sqrt{2SN}} S^-(\mathbf{k}) |0\rangle$$

Analog lässt sich berechnen: $\langle \mathbf{k} | S_i^z | \mathbf{k} \rangle = \dots = S - \frac{1}{N}$.

D.h. jeder Gitterplatz trägt \hbar/N zur Spinwelle bei.

\Rightarrow Magnonen sind Bosonen
mit $S=1$



z-Achse

Spins

Naheliegender Ansatz, analog zu Phononen, für Viel-Spinwellen-Zustände wäre

$$|\psi\rangle \sim \prod_{\mathbf{k}} S^{-}(\mathbf{k})^{n_{\mathbf{k}}} |0\rangle \quad \text{mit } n_{\mathbf{k}} \text{ Anzahl der Magnonen mit } \mathbf{k}$$

Man kann zeigen, dass dies keine Eigenzustände zu \mathcal{H} sind.

Wechselwirkung ist offensichtlich nicht vernachlässigbar.

Produktansatz liefert aber dominanten Term der spontanen Magnetisierung bei tiefen Temp.

$$\text{Spin 1, daher Bose-Verteilung } \langle n_{\mathbf{k}} \rangle = \frac{1}{e^{\omega(\mathbf{k})/k_{\text{B}}T} - 1}$$

Naheliegender Ansatz, analog zu Phononen, für Viel-Spinwellen-Zustände wäre

$$|\psi\rangle \sim \prod_{\mathbf{k}} S^{-}(\mathbf{k})^{n_{\mathbf{k}}} |0\rangle \quad \text{mit } n_{\mathbf{k}} \text{ Anzahl der Magnonen mit } \mathbf{k}$$

Man kann zeigen, dass dies keine Eigenzustände zu \mathcal{H} sind.

Wechselwirkung ist offensichtlich nicht vernachlässigbar.

Produktansatz liefert aber dominanten Term der spontanen Magnetisierung bei tiefen Temp.

$$\text{Spin 1, daher Bose-Verteilung } \langle n_{\mathbf{k}} \rangle = \frac{1}{e^{\omega(\mathbf{k})/k_{\text{B}}T} - 1}$$

Spontane Magnetisierung

$$J(\mathbf{k}) = \frac{1}{N} \sum_{ij} J_{ij} e^{i\mathbf{k}(\mathbf{R}_i - \mathbf{R}_j)} \quad \omega(\mathbf{k}) = g_j \mu_B B_0 + 2S(J_0 - J(\mathbf{k}))$$

Die Rechnung der *Linearen Spin Wellen* Theorie liefert mittels der *Holstein-Primakoff* Transformation das intuitive Ergebnis:

$$M(T) = M_0 \left(1 - \frac{1}{NS} \sum_{\mathbf{k}} \langle n_{\mathbf{k}} \rangle \right)$$

Mit nähern obiges $\omega(\mathbf{k})$

$$\begin{aligned} \omega(\mathbf{k}) &= g_j \mu_B B_0 + \frac{2S}{N} \sum_{ij} J_{ij} \left(1 - e^{i\mathbf{k} \cdot \mathbf{R}_{ij}} \right) \\ &\approx \dots + \frac{S}{N} \sum_{ij} J_{ij} (\mathbf{k} \cdot \mathbf{R}_{ij})^2 \quad \text{da } \mathbf{R}_{ij} = -\mathbf{R}_{ji} \end{aligned}$$

Quadratische Dispersionsrelation für Ferromagneten in $\mathcal{O}(\mathbf{k}^3)$.

Spontane Magnetisierung

$$J(\mathbf{k}) = \frac{1}{N} \sum_{ij} J_{ij} e^{i\mathbf{k}(\mathbf{R}_i - \mathbf{R}_j)} \quad \omega(\mathbf{k}) = g_j \mu_B B_0 + 2S(J_0 - J(\mathbf{k}))$$

Die Rechnung der *Linearen Spin Wellen* Theorie liefert mittels der *Holstein-Primakoff* Transformation das intuitive Ergebnis:

$$M(T) = M_0 \left(1 - \frac{1}{NS} \sum_{\mathbf{k}} \langle n_{\mathbf{k}} \rangle \right)$$

Mit nähern obiges $\omega(\mathbf{k})$

$$\begin{aligned} \omega(\mathbf{k}) &= g_j \mu_B B_0 + \frac{2S}{N} \sum_{ij} J_{ij} \left(1 - e^{i\mathbf{k} \cdot \mathbf{R}_{ij}} \right) \\ &\approx \dots + \frac{S}{N} \sum_{ij} J_{ij} (\mathbf{k} \cdot \mathbf{R}_{ij})^2 \quad \text{da } \mathbf{R}_{ij} = -\mathbf{R}_{ji} \end{aligned}$$

Quadratische Dispersionsrelation für Ferromagneten in $\mathcal{O}(\mathbf{k}^3)$.

Experimenteller Vergleich

Nachweis der quadratischen Dispersionsrelation der Spinwellenspektren von Ferromagneten.

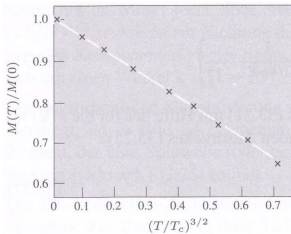
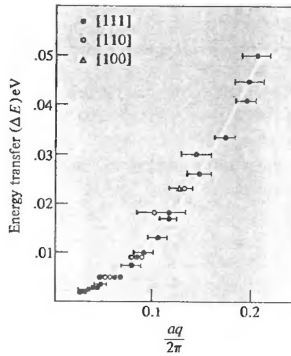
Brockhouse, *Phys. Rev.* **120**, 1638 (1960)

Mit der Dispersionsrelation, sowie der Bose-Verteilung folgt näherungsweise

$$M(T) \propto T^{3/2}$$

(Blochsches $T^{3/2}$ -Gesetz). Wird von Mean-Field nicht vorhergesagt.

F. Holtzberg et al., *J. Appl. Phys.* **35**, 1033 (1964)



Hubbard-Modell

$$\mathcal{H} = \sum_{\{ij\sigma\}} t_{ij} c_{i\sigma}^\dagger c_{j\sigma} + \frac{U}{2} \sum_{i\sigma} n_{i\sigma} n_{i-\sigma}$$

Beschreibt sog. *Bandmagnetismus* von Fe, Co und Ni. Daraus lässt sich als Niederenergie-Grenzfall das

t-J-Modell

$$\mathcal{H}_{\text{eff}} = \sum_{ij\sigma} t_{ij} c_{i\sigma}^\dagger (1 - n_{i-\sigma})(1 - n_{j-\sigma}) c_{j\sigma} - \sum_{ij}^{i \neq j} J_{ij} (\mathbf{s}_i \mathbf{s}_j - \frac{1}{4})$$

ableiten. Bei Halbfüllung ($N = L$) wird der erste Term Null und das Modell entspricht dem Heisenberg-Modell.

Hubbard-Modell

$$\mathcal{H} = \sum_{\{ij\sigma\}} t_{ij} c_{i\sigma}^\dagger c_{j\sigma} + \frac{U}{2} \sum_{i\sigma} n_{i\sigma} n_{i-\sigma}$$

Beschreibt sog. *Bandmagnetismus* von Fe, Co und Ni. Daraus lässt sich als Niederenergie-Grenzfall das

t-J-Modell

$$\mathcal{H}_{\text{eff}} = \sum_{ij\sigma} t_{ij} c_{i\sigma}^\dagger (1 - n_{i-\sigma})(1 - n_{j-\sigma}) c_{j\sigma} - \sum_{ij}^{i \neq j} J_{ij} (\mathbf{s}_i \mathbf{s}_j - \frac{1}{4})$$

ableiten. Bei Halbfüllung ($N = L$) wird der erste Term Null und das Modell entspricht dem Heisenberg-Modell.

- ▶ Viele WW führen auf ein effektives Heisenberg-Modell.
- ▶ Wir haben die Grundzustandsenergie des **Heisenberg-Modells** sowie die kleinste Anregung, das Magnon, berechnet.
- ▶ Weitere Klasse an magnetischen Festkörpern wird durch das **Hubbard-Modell** beschrieben.
- ▶ Keine abgeschlossene Theorie für Ferromagnetismus.

- ▶ Viele WW führen auf ein effektives Heisenberg-Modell.
- ▶ Wir haben die Grundzustandsenergie des **Heisenberg-Modells** sowie die kleinste Anregung, das Magnon, berechnet.
- ▶ Weitere Klasse an magnetischen Festkörpern wird durch das **Hubbard-Modell** beschrieben.
- ▶ Keine abgeschlossene Theorie für Ferromagnetismus.

O. Dzyapko, V. E. Demidov, G. A. Melkov and S. O. Demokritov

Universität Münster, 2011

Bose-Einstein condensation of spin wave quanta at room temperature

3580

O. Dzyapko et al.

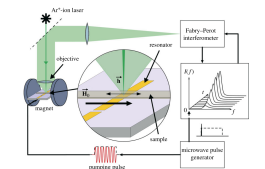


Figure 1. Experimental set-up for time-resolved investigation of redistribution over the spectrum of pumped magnons. (Online version is colour.)

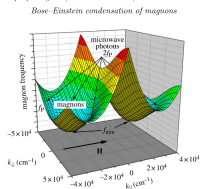


Figure 2. Calculated dispersion spectrum of magnons in an in-plane magnetized YIG film. $k_{||}$ and k_{\perp} correspond to the components of the magnon wavevector parallel and perpendicular to the static magnetic field, respectively. The arrows illustrate the process of parametric pumping of magnons. (Online version is colour.)

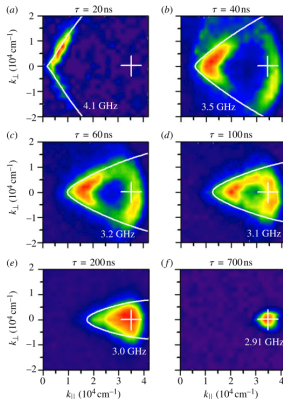


Figure 3. Colour-coded two-dimensional map of normalized BLS intensity measured for different two-dimensional magnon wavevectors $\mathbf{k}_m = (k_{||}, k_{\perp})$. (a)–(f) Correspond to different delays τ after the start of the pumping pulse, as indicated. White lines are constant-frequency contours for different frequencies as indicated. The white pluses mark the position of the bottom of the magnon spectrum. $H = 1000$ Oe, $f_p = 4.1$ GHz.



N. Ashcroft & D. Mermin

Festkörperphysik.



W. Nolting & A. Ramakanth

Quantum Theory of Magnetism



W. Nolting

Viel-Teilchen-Theorie.



M. Potthoff

Vielteilchentheorie-Vorlesungsskript



O. Dzyapko et. al.

Phil. Trans. R. Soc. A, 2011 **369**, 3575-3587

doi: [10.1098/rsta.2011.0128](https://doi.org/10.1098/rsta.2011.0128)